

**ВИЗНАЧЕННЯ КІНЕМАТИЧНИХ ХАРАКТЕРИСТИК ФРЕЗЕРНО-БАРАБАННОГО РОБОЧОГО ОРГАНУ ДЛЯ ЗМІШУВАННЯ І МЕХАНІЧНОЇ АЕРАЦІЇ КОМПОСТНИХ МАТЕРІАЛІВ**

**Павленко С. І. к.т.н., доцент, Ляшенко О.О. провідний фахівець**  
"Інститут механізації і електрифікації сільського господарства"  
НААН України (м. Запоріжжя)  
**Науменко М.М. к.т.н., доцент**  
(Дніпропетровський державний аграрний університет)

*Приведено результати аналітичних досліджень фрезерно-барабанного робочого органу для змішування та механічної аерації компостних матеріалів.*

**Проблема.** Технічні засоби змішування та механічної аерації органічних відходів відносно новітні машини та знаряддя, що використовуються в тваринництві. Теоретичним дослідженням технологічного процесу їх роботи присвячено не так багато наукових праць. Тому накопичене знання, всесторонній аналіз умов, конструкцій і режимів роботи забезпечить ефективність параметрів у різних умовах експлуатації. Особливістю технологічного процесу роботи фрезерно-барабанного робочого органу перед ґрунтообробними ротаційними машинами, де основні операції – зрізання стружки ґрунту та подрібнення, є додаткова операція – формування бурту матеріалу. Якщо, фрезерування ротаційними машинами проводиться в шарі ґрунту до 20 см, то сформовані бури органических матеріалів згідно технологічних вимог мають висоту від 1,2 до 4,0 м. Установлення зв'язку між конструкційними і кінематичними параметрами фрезерно-барабанного робочого органу та параметрами одержаних буртів розглядається в цій роботі.

**Аналіз останніх досліджень.** Теоретичному обґрунтуванню параметрів фрезерно-барабанних робочих органів для змішування та механічної аерації присвячена робота [1]. Її висновки – вагомий внесок в розвиток теорії робочих органів. Одержані залежності допомагають прогнозувати результати при зміні конструктивних та кінематичних параметрів, діаметра та колової швидкості робочих органів, коефіцієнта заповнення. Але недостатньо досліджені залежності зв'язку між конструкційними і кінематичними параметрами робочих органів та параметрами створюваних буртів органічних матеріалів.

**Мета.** Дослідити функціональні залежності параметрів робочих органів та буртів.

**Основна частина.** При проектуванні барабанного робочого органу з радіальними лопатями необхідно обґрунтувати рекомендації щодо співвідношення кутової швидкості барабана і швидкості його горизонтального переміщення.

При переміщенні барабана в праву сторону його лопаті будуть руйнувати бурт, перекидаючи компост на лівий бік, при цьому лінія укосу АВ

переміщуватиметься вправо, а барабан буде заглиблюватись в навалочний бурт. Очевидно, що міра його заглиблення буде залежати від співвідношення швидкості переміщення  $V$  і кутової –  $\omega$ . Одна з можливих варіацій усталеної роботи барабана приведена на рис. 1.

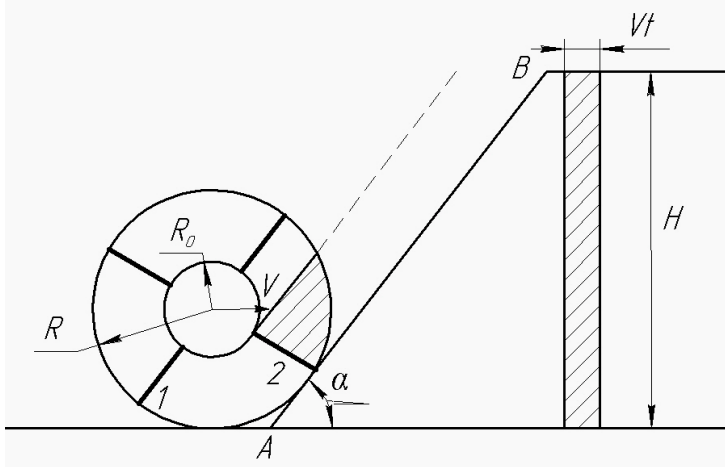


Рис. 1 – Можливе положення барабана відносно бурту:  $R$  – зовнішній радіус барабана;  $R_0$  – внутрішній;  $H$  – висота бурту;  $\alpha$  – кут природного укосу.

Пропускна спроможність може бути визначена як:

$$A = k \frac{\pi(D^2 - D_0^2)}{4} z t \quad (1)$$

де  $z$  – частота обертання барабана за 1 секунду;

$D$  – зовнішній діаметр барабана

$D_0$  – внутрішній діаметр барабана

$k$  - коефіцієнт заповнення.

Враховуючи, що  $\omega = 2\pi z$  для А можна отримати

$$A = k \frac{\omega(D^2 - D_0^2)}{8} t, \text{ що відповідає передбаченням розробки [1]}$$

Очевидно, що коефіцієнт  $k$  може бути визначений наблизено з співвідношення

$$k \frac{D^2 - D_0^2}{8} \pi = S, \quad (2)$$

де  $S$  – корисна площа перетину бурта, яка захоплена лопаттю барабана – на рис. 1 вона заштрихована.

Враховуючи, що площа подачі компосту на барабан визначається як

$$A_0 = VtH, \quad (3)$$

і прирівнюючи  $A_0$  до  $A$ , отримаємо

$$k \frac{\omega(D^2 - D_0^2)}{8} t = VtH.$$

Звідки

$$V = k \frac{\omega(D^2 - D_0^2)}{8H}. \quad (4)$$

Таким чином, формула (4) дозволяє визначити швидкість руху барабана за відомою кутовою швидкістю  $\omega$ . Цілком очевидно, що кутова швидкість обертання повинна бути достатньою для формування бурту. (При малих значеннях  $\omega$  перелопачуватись буде тільки нижній шар навалочного бурту, при надмірно високих – компост буде недоцільно високо підкидатись вгору). Будемо вважати, що кутова швидкість, яка забезпечує виліт компосту з барабана, повинна мати значення, необхідне для переміщення компосту на висоту  $H$  (рис. 2), до точки С, що знаходиться на краю природного схилу сформованого бурту ( $\alpha$  - кут природного укосу). Момент вильоту (точка вильоту) очевидно теж буде залежати від висоти  $H$ , на яку треба закинути компост і, у зв'язку з цим, положення точки вильоту і початок розвантаження барабана повинні бути обґрунтованими. В розробці [1] приймається, що барабан повністю заглибується в бурт, а початок розвантаження починається в той момент, коли лопать потрапляє на лінію  $OD$ , що нахиlena під кутом  $\beta$  до горизонту (рис. 3). Цілком очевидно, що при достатньому значенні кутової швидкості розвантаження може початись і раніше.

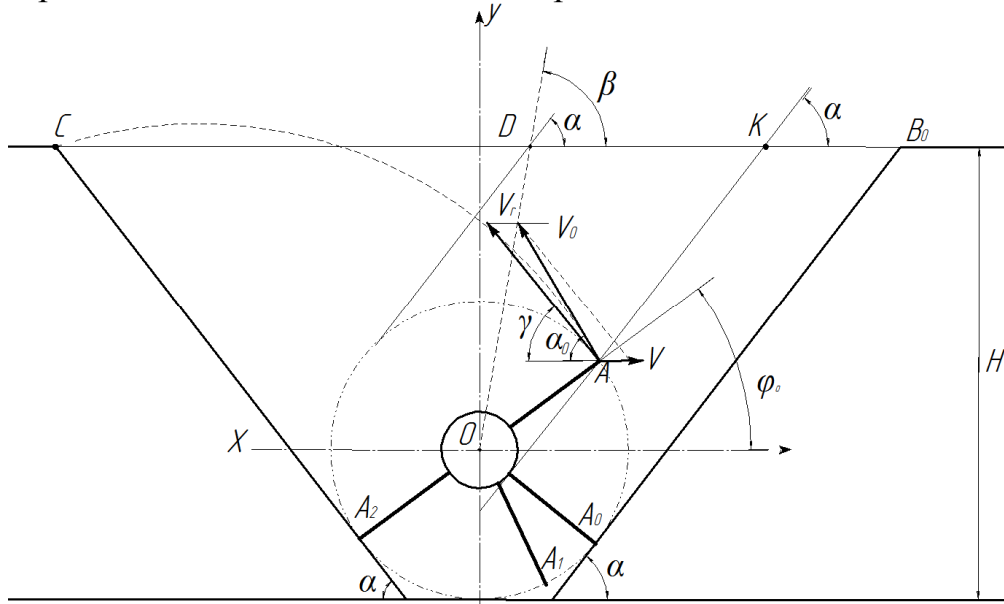


Рис. 2 – Схема до розвантажування робочого органу

Для уточнення моделі роботи робочого органу приймаються наступні допущення:

- лобові поверхні навалочного і сформованого буртів знаходяться під кутом природного укосу до горизонту -  $\alpha$ , причому поверхня сформованого бурта є дотичною до циліндричної поверхні барабана діаметра  $D$ ;
- при обертанні барабана масив компосту, що знаходиться в барабані між лопатями 1 і 2 (рис. 1), приводиться в рух лопаттю 2;
- розвантаження секції барабана починається тоді, коли край лопаті, наприклад точка А лопаті 1, потрапляє на лінію укосу АК;
- розвантаження барабана відбувається почергово з кожного уявного сектора, що визначається кутом  $\Delta\varphi$ , який утворює лопаті ОА, в момент, коли точка А виходить за лінію укосу вліво;

- вважається недоцільним положенням лінії укосу навалочного бурта зліва від осі барабана;

- обрушення навалочного бурту відбувається вздовж площини, нахиленої під кутом природного укосу, і ця площа не являється дотичною до барабана, а перетинає його справа від центра О;

- приймається, що при розвантажуванні сектора маса компосту, що в ньому знаходиться, зміщена до його основи, причому займає таку ж частину його площині, яку складає заштрихована корисна площа (рис. 2) по відношенню до площині, що знаходиться між двома лопатями.

При прийнятих припущеннях кутову швидкість  $\omega$  визначаємо як необхідну для надання швидкості польоту  $V_0$  частинки компосту, що злітає з крайки лопаті.

Швидкість  $V_0$  будемо розглядати як суму векторів швидкості  $V_r = \omega R$  і відносної  $V$ .

Модуль початкової швидкості визначається через кутову як

$$V_0 = \sqrt{V^2_r + V^2 + 2V_r V \cos(90^\circ + \varphi_0)}, \quad (5)$$

де  $\varphi_0$  - кут, при якому починається розвантажування робочого сектора барабана.

На рис. 2 цим сектором є сектор  $A_1OA$ , який завантажено компостом навалочного бурта, зрушенім по лінії укосу  $A_0B_0$ .

При розвантажуванні сектора  $A_1OA$  сектор  $A_2OA_1$ , починає завантажуватись після того як точка  $A$ , його лопаті 2 прийде до положення точки  $A_0$ . При завантажуванні лінія укосу  $A_0B_0$  порушеній частини масиву компосту переміститься паралельно вправо. Згідно з формулою (4) при обертанні барабана на кут  $\varphi = \frac{\pi}{4}$  лінія укосу переміститься на відстань

$b = k \frac{\pi D^2 - D_0^2}{8H}$ , звідки для коефіцієнта заповнення барабана можна отримати

$$k = \frac{32bH}{\pi(D^2 - D_0^2)} \quad (6)$$

Вважаючи доцільним заглиблення робочого органу в бурт по нормальні до лінії укосу не більше за радіальний розмір лопаті тобто ( $R - R_0$ ), розглянемо рух частинки компосту, яка вилітає з сектора  $A_1OA$  у той момент, як тільки лопать 1 перетне лінію OA, що визначається кутом вильоту  $\varphi_0$ .

Швидкість  $V_0$  будемо вважати достатньою, якщо компост, що вилітає з робочого сектора може долетіти до точки С, яка лежить на лінії укосу сформованого бурта тієї ж висоти, що і бурта навалочного. Очевидно, що найбільш вигідною ситуацією буде така, при якій лінія укосу сформованого бурта буде максимально наближеною до барабана.

Для визначення початкової швидкості  $V_0$  розглянемо диференціальні рівняння польоту частинки в системі координат XY, з центром на осі барабана рис 3. Диференціальні рівняння мають вигляд

$$m\ddot{x} = 0, \quad m\ddot{y} = -mg,$$

де  $\ddot{x}$  – проекція прискорення на вісь ox;  $\ddot{y} = -g$  - проекція прискорення на вісь y

У результаті інтегрування цих рівнянь можна отримати

$$x = V_0 \cos \alpha_0 t - R \cos \varphi_0 \quad (7)$$

$$y = -\frac{gt^2}{2} + V_0 \sin \alpha_0 t + R \sin \varphi_0 \quad (8)$$

де  $\varphi_0$  - кут який складає початкова швидкість  $V_0$  з горизонталлю.

З рівняння (5)

$$t = \frac{x + R \cos \varphi_0}{V_0 \cos \alpha_0}$$

Підставляючи цей вираз в рівняння (7) можна отримати рівняння траєкторії польоту

$$y = -\frac{g}{2} \left( \frac{x + R \cos \varphi_0}{V_0 \cos \alpha_0} \right)^2 + V_0 \sin \alpha_0 \left( \frac{x + R \cos \varphi_0}{V_0 \cos \alpha_0} \right) + R \sin \varphi_0 \quad (9)$$

Із паралелограма швидкостей, наведеного на рис. 2, можна отримати

$$V_o \cos \alpha_0 = V_z \cos \gamma - V = \omega R \sin \varphi_0 - V;$$

$$V_o \sin \alpha_0 = V_z \sin \gamma = \omega R \cos \varphi_0$$

тоді замість рівняння (9) перейдемо до

$$y = -\frac{g}{2} \left( \frac{x + R \cos \varphi_0}{\omega R \sin \varphi_0 - V} \right)^2 + \omega R \cos \varphi_0 \left( \frac{x + R \cos \varphi_0}{\omega R \sin \varphi_0 - V} \right) + R \sin \varphi_0 \quad (10)$$

Або, врахувавши залежність (4),

$$y = -\frac{g}{2} \left[ \frac{x + R \cos \varphi_0}{\omega R \sin \varphi_0 - k \frac{\omega(D^2 - D_0^2)}{8H}} \right]^2 + \omega R \cos \varphi_0 \left[ \frac{x + R \cos \varphi_0}{\omega R \sin \varphi_0 - k \frac{(D^2 - D_0^2)}{8H}} \right] + R \sin \varphi_0$$

Після очевидних перетворень

$$y = -\frac{g}{2\omega^2} \left[ \frac{8H(x + R \cos \varphi_0)}{8HR \sin \varphi_0 - k(D^2 - D_0^2)} \right]^2 + R \cos \varphi_0 \left[ \frac{8H(x + R \cos \varphi_0)}{8HR \sin \varphi_0 - k(D^2 - D_0^2)} \right] + R \sin \varphi_0$$

Звідки

$$\omega^2 = \frac{g}{2} \left[ \frac{8H(x_c + R \cos \varphi_0)}{8HR \sin \varphi_0 - k(D^2 - D_0^2)} \right]^2 \frac{1}{R \cos \varphi_0 \left[ \frac{8H(x_c + R \cos \varphi_0)}{8HR \sin \varphi_0 - k(D^2 - D_0^2)} \right] - y_c + R \sin \varphi_0} \quad (11)$$

де  $x_c = H \operatorname{ctg} \alpha + R \sin \alpha - (R - R \cos \alpha) \operatorname{ctg} \alpha$  (12)  
 $y_c = H - R$

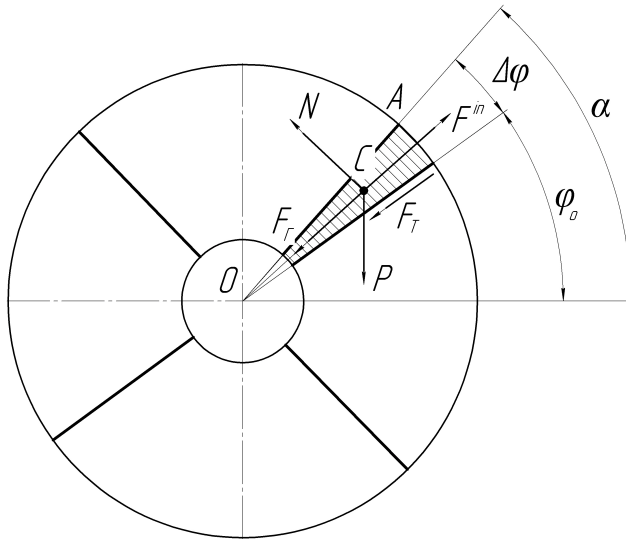


Рис. 3 – Розрахункова схема сектора готового до «вильоту»

Схема сил що діють на уявний сектор масиву компосту кутовий розмір якого визначається як  $d_\phi$  наведена на рис 3. Рівняння відносної рівноваги сектора має вигляд

$$F^{in} - F_T - F_G - P \sin \varphi_0 = 0 \quad (13),$$

де  $F^{in}$  - сила інерції;

$F_T$  - сила тертя;

$F_G$  - сумарна гідростатична дія навалочного бурта на сектор;

$N$  - нормальні реакції; що прикладається до сектора;

$P$  - вага компосту в секторі.

Очевидно, що рівновага в секторі порушиться, як тільки лопаті перейде лінію ОА, в зв'язку з тим, що зникне гідростатична сила  $F_G$ .

Якщо  $m$  - маса компосту що підлягає вильоту, то

$$P = mg; \quad N = P \cos \varphi = mg \cos \varphi_0; \quad F_T = fmg \cos \varphi_0. \quad (14)$$

Гідростатична сила  $F_g$  в першому наближенні визначається як

$$F_g = \frac{D}{2} \Delta \varphi l \left[ H - \frac{D}{2} (1 + \sin \varphi_0) \right] \gamma, \quad (15)$$

де  $\gamma$  – питома вага компосту.

Сила інерції визначається як

$$F^{in} = m \omega^2 r_c,$$

де  $r_c$  - радіус центра ваги площи сектора готового до вильоту.

Підставляючи формули (14) і (15) в рівняння (13) отримаємо

$$m\omega^2 r_c - fmg \cos \varphi_0 - \frac{D}{2} \Delta \varphi l \left[ H - \frac{D}{2} (1 + \sin \varphi_0) \right] \gamma - mg \sin \varphi_0 = 0 \quad (16)$$

Враховуючи, що маса компосту в секторі що визначається розміром  $\Delta \varphi$

$$m = \frac{1}{2} (R^2 - r^2) \Delta \varphi l \gamma / g$$

з рівняння (16) можна отримати

$$\omega^2 r_c = fg \cos \varphi_0 + \frac{D}{2} \left[ H - \frac{D}{2} (1 + \sin \varphi_0) \right] \frac{2g}{(R^2 - r^2)} + g \sin \alpha_0 \quad (17)$$

Сумісний розв'язок рівнянь (17) і (11) дає можливість визначити кут вильоту  $\varphi_0$  залежності

$$\begin{aligned} & \frac{g}{2} \left[ \frac{8H(x_c + R \cos \varphi_0)}{8HR \sin \varphi_0 - k(D^2 - D_0)} \right]^2 \frac{1}{R \cos \varphi_0 \left[ \frac{8H(x_c + R \cos \varphi_0)}{8HR \sin \varphi_0 - k(D^2 - D_0)} \right] y_c + R \sin \varphi_0} = \\ & = \frac{1}{r_c} \left[ fg \cos \varphi_0 + \frac{Dg}{R^2 - r^2} \left[ H - \frac{D}{2} (1 + \sin \varphi_0) \right] + g \sin \varphi_0 \right], \end{aligned} \quad (18)$$

де радіус центра ваги сектора заповненого компостом при коефіцієнті заповнення  $k = 1$  визначається як  $r_c = \frac{2}{3}(R - r)$ .

На рис. 4, 5 приведені приклади використання отриманих залежностей при проектуванні фрезерно-барабанних робочих органів. Розв'язок рівняння (18) отримано графічно за такими вихідними даними: зовнішній діаметр барабана  $D_b = 0,66$  м; внутрішній  $D_0 = 0,33$  м; висота бурта  $H = 1,32$  м; кут натулярального укосу  $\alpha = 45^\circ$ ; коефіцієнт тертя  $f = 0,5$ . На рис. 4 наведено результати розрахунку рівняння (19) де позначене ліву частину рівняння через  $Z1$ , а праву через зміну  $Z2$ . Як вітікає з рис. 4, кут вильоту компосту для прикладу, що розглядається,  $\varphi_0 = 0,37$  рад. Необхідна кутова швидкість при максимальному коефіцієнті завантаження  $\omega = \sqrt{260} = 16,1 \text{ c}^{-1}$ . Швидкість переміщення барабана за формулою (4):  $\frac{16,1(0,66^2 + 0,33^2)}{8 \cdot 1,23} = 0,53 \text{ м/с.}$

На рис. 5 приведені результати розрахунків залежності швидкості, потужності, кута вильоту та кутової швидкості робочого органу від висоти бурта. Вихідні дані до розрахунків: ширина захвату робочого органу – 2 м, густина перероблюваного матеріалу – 700 кг/м<sup>3</sup>.

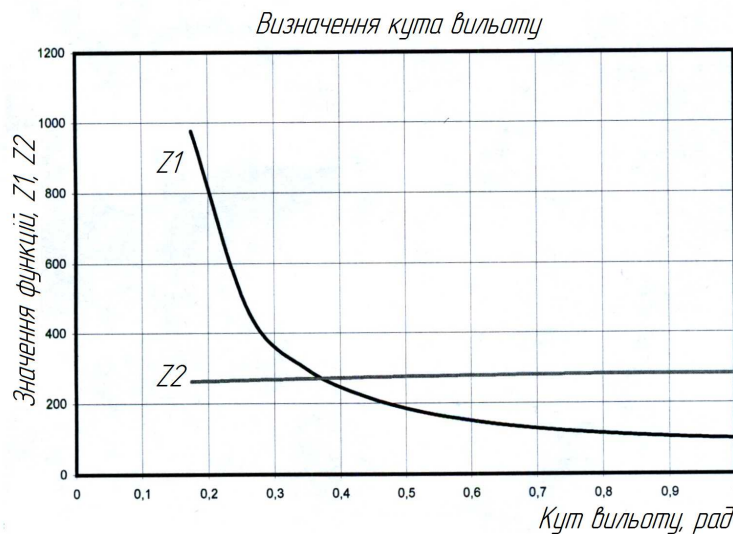


Рис. 4 – Визначення кута вильоту компосту при розвантажуванні робочого органу

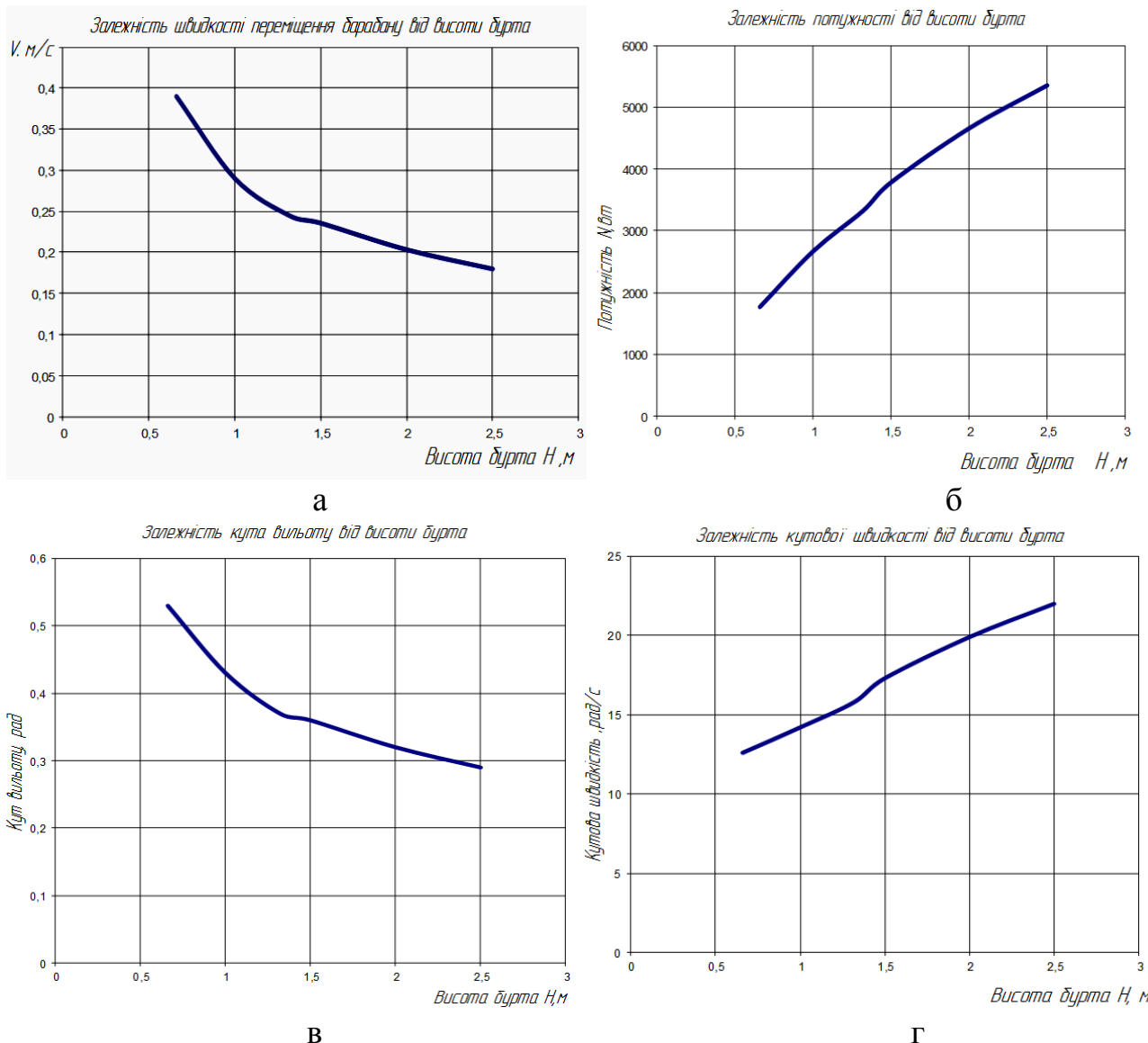


Рисунок 5 – Залежності швидкості (а), потужності (б), кута вильоту (в) та кутової швидкості (г) робочого органу від висоти бурта (ширина захвату робочого органу – 2 м, густина перероблюваного матеріалу – 700 кг/м<sup>3</sup>).

## **Висновки**

Таким чином, у наведеній роботі розвинена математична модель динаміки розвантажування барабана, яка дозволить визначити кінематичні характеристики, що необхідні для його проектування.

## **Список літератури**

1. Шевченко І.А., Ковязін О.С., Харитонов В.І. Механіко-математична модель процесу розвантаження барабанного органу для змішування компостних матеріалів та механічної аерації. // Механізація, екологізація та конвертація біосировини у тваринництві. Зб. наук. праць Інституту механізації тваринництва УААН. – Запоріжжя: ІМТ УААН, 2008. – Вип.1. (5,6) 2010. – С. 248-265.

## **Аннотация**

### **ОПРЕДЕЛЕНИЕ КИНЕМАТИЧЕСКИХ ХАРАКТЕРИСТИК ФРЕЗЕРНО-БАРАБАННОГО РАБОЧЕГО ОРГАНА ДЛЯ СМЕШИВАНИЯ И МЕХАНИЧЕСКОЙ АЭРАЦИИ КОМПОСТНЫХ МАТЕРИАЛОВ**

**Павленко С.И., Ляшенко А.А., Науменко Н.Н.**

*Приведены результаты аналитических исследований фрезерно-барабанного рабочего органа для смещивания и механической аэрации компостных материалов.*

## **Abstract**

### **DETERMINATION OF KINEMATICS DESCRIPTIONS OF TURNING-DRUM WORKING BODY FOR MIXING AND MECHANICAL AERATION OF COMPOST MATERIALS**

**S. Pavlenko, A. Lyashenko, N. Naumenko**

*The results of analytical researches of turning-drum working organ are presented for mixing and mechanical aeration of compost materials.*